

北海道大学工学部 正員 三浦 清一

〃 〃 谷澤 房郎

〃 〃 土岐 祥介

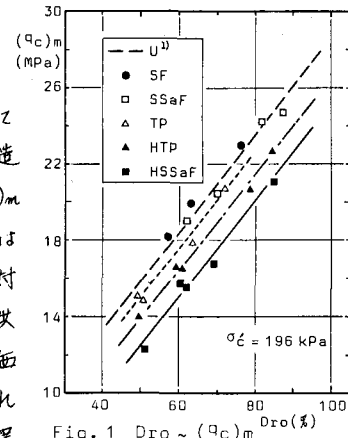
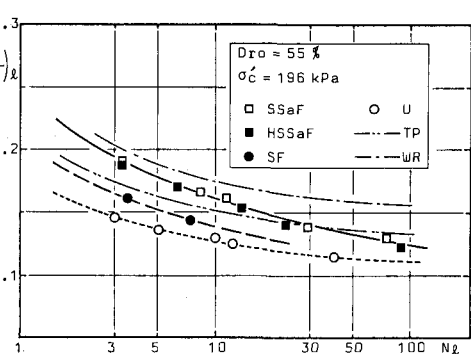
1. まえがき 振動三軸試験による飽和砂の液状化特性は、供試体の構造特性の違いによって大きく異なることが一般に認められていて。一方、静的コーン貫入抵抗と構造特性に依存するが、液状化強度とコーン貫入抵抗の相関を考慮する際には両者を単純に結びつけることはできず、供試体の構造特性を考慮した形で考えていく必要があることを筆者らは前報¹⁾で指摘している。本報告はこの結果をさしに明確にするため、同一の方法で作製した砂層において水平方向および鉛直方向からサンプリングを行って堆積構造が異なる供試体を作製し、それらの液状化特性とコーン貫入特性の相関について考察したものである。

2. 試料および供試体作製法 試験に用いた試料は豊浦標準砂 ($G_s = 2.65$, $e_{max} = 0.992$, $e_{min} = 0.625$) である。供試体 ($D = 70 \text{ mm}$, $H = 170 \text{ mm}$) は MSP 法²⁾, TP 法³⁾ および WR 法⁴⁾ によって作製した。以下の議論では、砂の堆積方向と供試体の軸方向が一致するものを V 供試体、 90° 異なるものを H 供試体と称することにする。本報告では、通常の作製法による供試体の他に凍結あるいはサンプリングという手法を用いた SF, SSAF 供試体⁵⁾ (V 供試体), HSSAF 供試体⁶⁾ および HTP 供試体⁷⁾ (H 供試体) に対する試験を行った。

3. 試験結果と考察

3-1 コーン貫入特性 図-1 に圧密終了時の相対密度 D_{ro} と平均コーン貫入抵抗値 ($(\sigma_c)_m$) の関係を示す。 $D_{ro} \geq 50\%$ では、いずれの供試体においても D_{ro} と $(\sigma_c)_m$ の間にほぼ直線関係が見られる。一方、V 供試体 すなわち構造特性が等しい供試体 (通常の MSP 供試体) と SF および SSAF 供試体の $D_{ro} \sim (\sigma_c)_m$ 関係はほぼ一致しており、貫入抵抗に及ぼすサンプリングおよび凍結の影響は無視しえるものと言える。したがって、図-1 に見られる各供試体の同一相対密度における貫入抵抗の差は構造特性に起因していることになる。また、H 供試体の貫入抵抗は同一作製法による V 供試体の水平方向からの貫入抵抗と等価であり、V 供試体との差の大小は異方性の程度を反映しているものと考えられる。すなわち、静的コーン貫入試験は堆積構造の差を明確に捉え、異方性の程度によつて貫入抵抗は異なる値を示すと言えよう。

3-2 液状化特性 各種の供試体に対する液状化試験 ($\frac{\tau}{\sigma'_c}$) の結果を図-2 に示す。ここで、液状化強度は初期液状化の判定基準に基づいている。MSP 法による V 供試体についてはみどりと、SF あるいは SSAF 供試体の液状化強度は V 供試体のそれよりも高く、液状化強度に及ぼすサンプリングおよび凍結の影響は無視できない。これは、凍結あるいはサンプリングが V 供試体の伸張側のダイレインシー特性に強い影響を与えること、またそれより異方性を弱める方向に作用する⁸⁾ことを反映して、と考えられる。供試体の凍結が液状化強度に及ぼす影響に関する報告^{9), 10)}では凍結と非凍結の間に差はないとしているが、MSP 供試体のように強い異方性を有する供試体では、上述の理由から凍結によつて液状化強度が高くなるものと思われる。

Fig. 1 $D_{ro} \sim (\sigma_c)_m$ Fig. 2 $(\tau/\sigma'_c) \sim N_l$

次にSSaF供試体とHSSaF供試体についてみると、両者の液状化強度にはほとんど差が見られないと、興味ある事実が示されてある。両者ともサンプリングおよび凍結という過程を経て作製された供試体であり、H供試体の場合もV供試体と同様にその影響を受けていると考えられる。しかし、図-3(a),(b)に示した液状化試験の記録例に見られるように、繰り返し応力載荷過程における両者の挙動には明白な差が見られ、V供試体は伸張側、H供試体は圧縮側で変形が卓越している。また、静的試験におけるダイレイターンシー特性においても同様の傾向を示しており、サンプリングおよび凍結という過程を経ても両供試体の初期構造の差はほとんど保持されていると言える。したがって、SSaF供試体(V)とHSSaF供試体(H)の液状化強度の一一致は、これらの供試体が主応力の作用方向に対する対称性を構造を有していること、また変形が卓越するような応力状態におけるダイレイターンシー特性が液状化強度に支配的であることに起因していると考えられる。

3-3 液状化強度とコーン貫入抵抗の相関

U供試体については、液状化強度とコーン貫入抵抗の間に良好な直線関係が存在する。しかし、前報で示したように堆積構造が異なる供試体間には相関が見られず、V供試体と液状化強度が等しいH供試体の貫入抵抗もV供試体のそれとは大きく異なり、H供試体の貫入抵抗と液状化強度の関係を示したのが図-4である。縦軸は載荷回数 $N_L = 20$ 回のときの応力比であり、3-2 で述べた結果よりそれに対応するV供試体の値を用いてある。また、WR供試体に関してはH供試体に対する貫入試験は行はっていないが、その構造特性から推察してV供試体とH供試体の貫入抵抗はほとんど等しいと考えられる。

図-4より、H供試体に関しては液状化強度と貫入抵抗の間に良い直線関係が存在し、構造特性によらず貫入抵抗から直接液状化強度を求めることが可能である。一方、V供試体に関しては水平方向からの貫入抵抗を用いれば液状化強度を推定することができると言える。すなわち、鉛直方向と水平方向の貫入抵抗の小さい方を用いれば、振動三軸試験の液状化強度と貫入抵抗を結びつけられると可能となる。言へ換えれば、液状化強度をより積極的に支配する応力状態の最大主応力方向とコーン貫入方向とが一致する際の貫入抵抗と液状化強度は良い相関を示すと言える。したがって、原位置における単純に鉛直方向の貫入抵抗のみによる液状化強度を推定することは、誤まることなく可能性があると言えよう。

4. あとがき 振動三軸試験における液状化強度は、異方性の程度が同じであれば構造特性が全く異なっても一致することが認められた。また、構造異方性によって鉛直方向と水平方向の貫入抵抗は大きく異なり、両者の小さい方と液状化強度の間に良い相関が見られる。最後に、本研究について御教示頂いた本学北郷繁教授ならびに実験に協力を得た本学大学院中垣健、江幡敷司、今日出入君に謝意を表します。

- [参考文献] 1) 土岐・三浦・谷澤(1981) : 第16回国土工学研究発表会講演集
 2) Miura, S. and Toki, S. (1982) : Soils and Foundations, Vol.22, No.1
 3) 三浦・土岐・三浦(附)(1982) : 第17回国土工学研究発表会講演集
 4) 土岐・三浦・谷澤(1982) : 同上
 5) Walberg, F.C. (1978) : Proc. ASCE, Vol. 104, No. GT-5
 6) Singh, S. et al. (1978) : Report No. UC8/EERC - 79/33
 7) 土岐・三浦・谷澤(1981) : 砂の相対密度へのボルツマン分布の適用

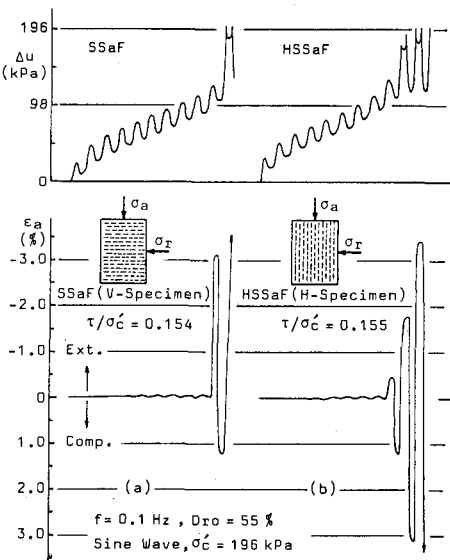


Fig. 3 Typical Records

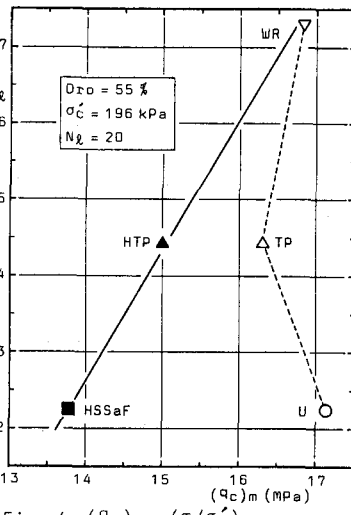


Fig. 4 $(q_c)_m \sim (\tau/\sigma'_c)_L$